

CHAPITRE OS11

Filtrage analogique du signal

➤ Problématique

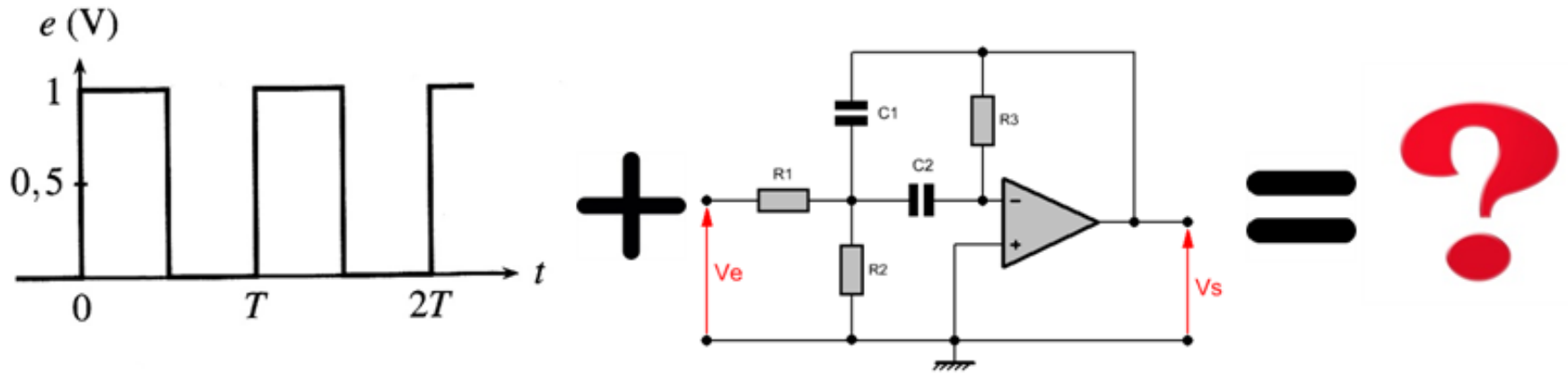


FIGURE 1 : Passage d'un signal carré à travers un filtre

Quelle est l'allure du signal de sortie ?

Quelles sont ses caractéristiques ?

Quelles sont les actions du filtre sur le signal d'entrée ?

➤ Étude des filtres analogiques

1 Signaux périodiques

1.1 Composante continue ou valeur moyenne

➤ Définition

$$\langle s(t) \rangle = S_0 = \frac{1}{T} \int_0^T s(t) dt$$

➤ Exemple

➤ Signal continu

1.2 Valeur efficace d'un signal périodique

➤ Puissance moyenne

Définition

$$\mathcal{P} = \frac{1}{T} \int_0^T p(t) dt$$

➤ Valeur efficace

Définition

I_{eff} intensité efficace du courant alternatif $i(t)$

Définition : valeur efficace S_{eff}

$$S_{eff}^2 = \frac{1}{T} \int_0^T s^2(t) dt$$

➤ Cas du signal sinusoïdal

➤ Mesure



$$S_{eff} = \frac{S_M}{\sqrt{2}}$$



1.3 Représentation fréquentielle ou spectre

1.3.1 Signal sinusoïdal

➤ Définition

$$s(t) = S_M \cos(\omega t + \varphi)$$

- spectre en amplitude
- spectre de phase

1.3.2 Signal périodique

➤ Décomposition en série de Fourier

Propriété

Harmonique de rang n ($n > 1$)

$$s(t) = S_0 + \sum_{n=1}^{\infty} S_n \cos(2\pi n f_s t + \varphi_n)$$

➤ Vocabulaire

**Composante continue
= valeur moyenne**

Fondamental ($n = 1$)

[1] P. Flandrin *et al.*, L'analyse de Fourier, pilier du numérique, *Pour La Science*, n°495, p. 54-62, Janvier 2019

➤ Spectre d'un signal périodique

spectre discret

➤ Exemples de spectres : signal carré et signal triangulaire

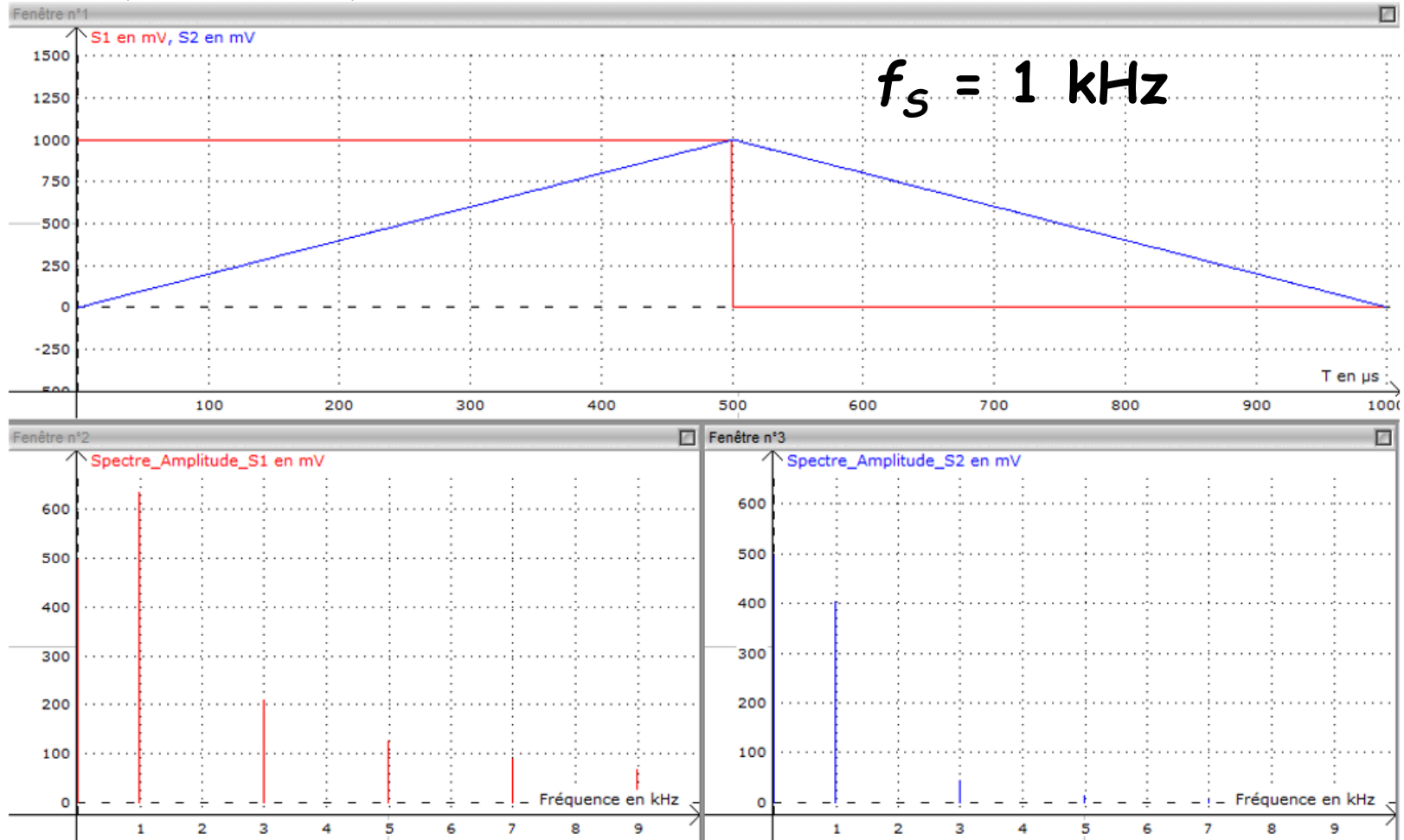
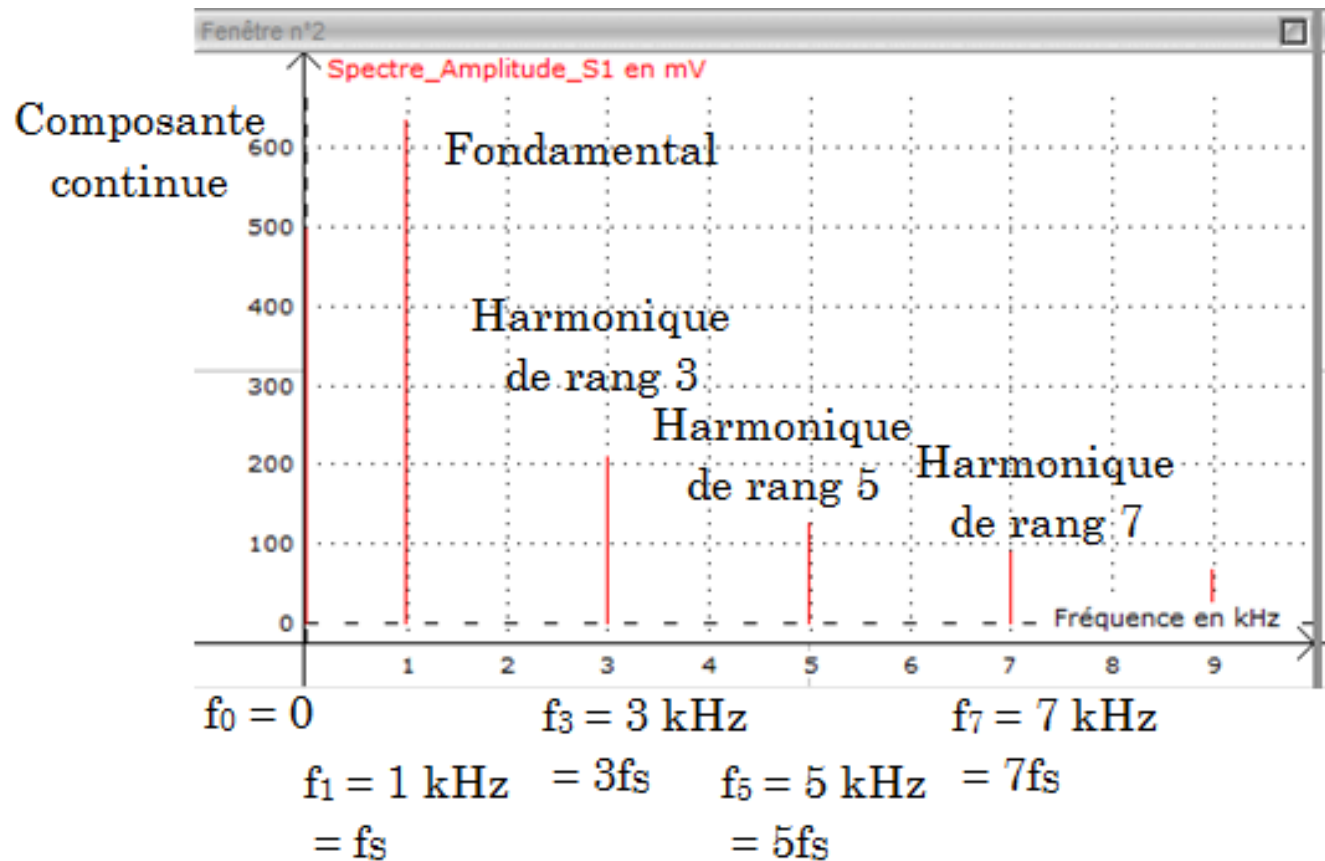


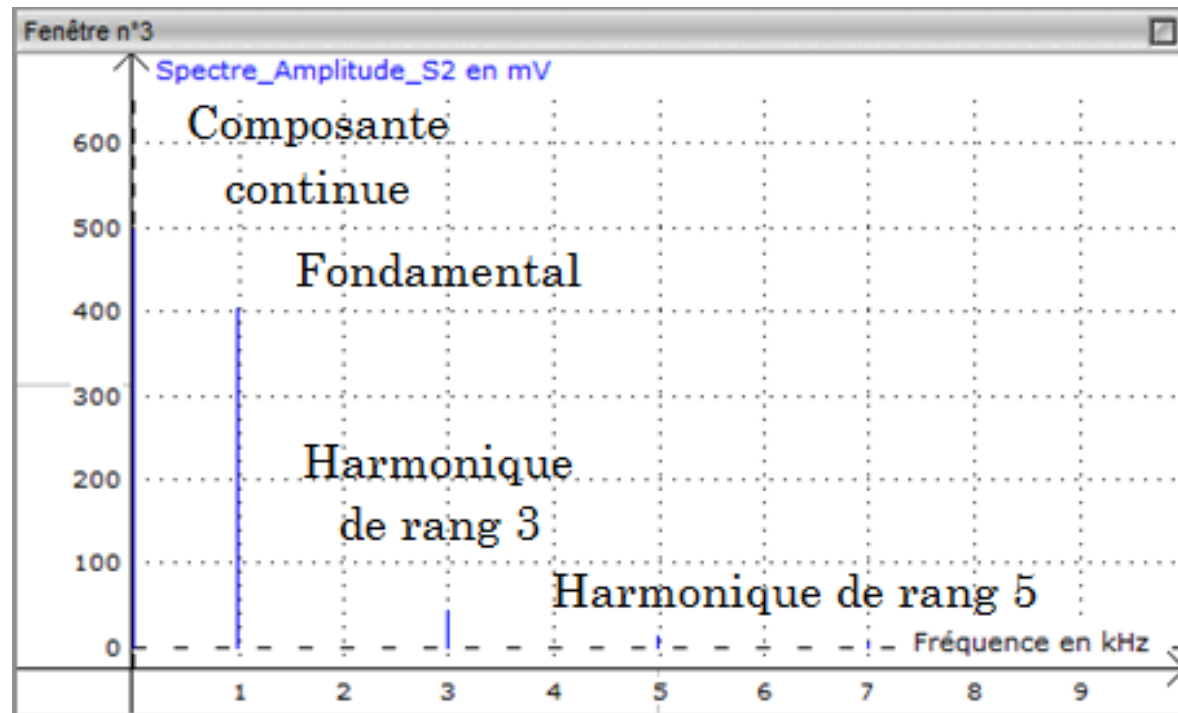
FIGURE 2 : Spectres des signaux carrés et triangulaires

➤ Exemples de spectres : signal carré et signal triangulaire



Signal carré

➤ Exemples de spectres : signal carré et signal triangulaire



$$f_0 = 0$$

$$f_3 = 3 \text{ kHz}$$

$$f_1 = 1 \text{ kHz} = 3f_s \\ = f_s$$

$$f_5 = 5 \text{ kHz} \\ = 5f_s$$

Signal triangulaire

2 Filtrage analogique

2.1 Qu'est-ce qu'un filtre ?

➤ Réalisation d'un filtre

Définition

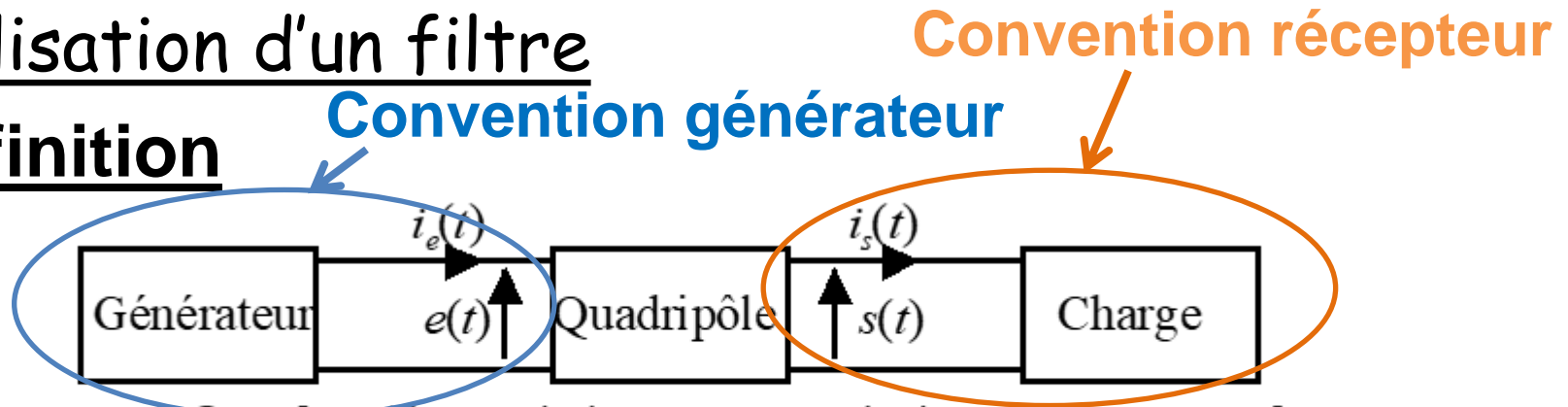


FIGURE 3 : Quadripôle inséré entre un générateur et une charge

➤ Ordre d'un filtre

- Filtre = quadripôle linéaire
- signaux d'entrée et de sortie reliés par une équation différentielle

Définition : ordre du quadripôle

➤ Actions d'un filtre

Étude en régime sinusoïdal forcé

Définition :

réponse fréquentielle ou harmonique

Propriété :

Actions d'un filtre sur un signal d'entrée sinusoïdal

- ❖ conservation de la pulsation
- ❖ modification de l'amplitude
et de la phase à l'origine



2.2 Fonction de transfert

- Expressions des signaux d'entrée et de sortie
- Fonction de transfert

**Définition : fonction de transfert complexe
(= transmittance)**

$$\underline{H}(j\omega) = \frac{\underline{s}(t)}{\underline{e}(t)} = \frac{\underline{S}}{\underline{E}}$$

- Établissement de la FT

Méthode 1 : avec circuit en RSF



Méthode 2 : avec éq. diff.



➤ Module et argument de la fct de transfert (FT)

$$\underline{H}(j\omega) = |\underline{H}(j\omega)| e^{j \arg(\underline{H}(j\omega))} \quad \underline{H}(j\omega) = \frac{\underline{S}}{\underline{E}}$$

Définitions :

- Module : **gain**

$$|\underline{H}(j\omega)| = G(\omega) = \frac{|\underline{S}|}{|\underline{E}|} = \frac{S_M}{E_M}$$

rapport des amplitudes des signaux sinus

- Argument : **phase**

$$\begin{aligned} \arg(\underline{H}(j\omega)) &= \varphi(\omega) \\ &= \arg(\underline{S}) - \arg(\underline{E}) = \varphi_s - \varphi_e \end{aligned}$$

déphasage entre les signaux sinus



➤ Principe du filtrage

Propriété

**Filtre agit sur les composantes d'un signal
sur un critère fréquentiel**

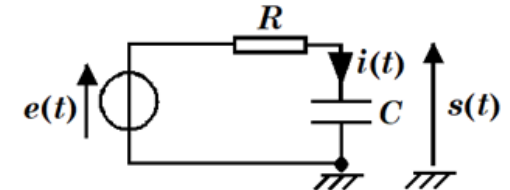


➤ Exercice d'application 1

1. Déterminer la fonction de transfert $\underline{H}(j\omega) = \frac{\underline{s}(t)}{\underline{e}(t)}$ du circuit RC

série ci-contre à partir du circuit étudié directement en notation complexe.

2. Déterminer les expressions du gain et de la phase de la fonction de transfert.
3. Retrouver l'équation différentielle à partir de la fonction de transfert. Préciser l'ordre du filtre.



2.3 Réponse fréquentielle ou harmonique

➤ Tension d'entrée sinusoïdale

$$e(t) = E_M \cos(\omega_e t + \varphi_e)$$

➤ Expression de la réponse du circuit

La réponse, i.e. la tension de sortie, est :
sinusoïdale, de même pulsation ω_e

$$s(t) = S_M \cos(\omega_e t + \varphi_s)$$

? ?

M



$$s(t) = G(\omega_e) E_M \cos(\omega_e t + \varphi_e + \varphi(\omega_e))$$

3 Diagramme de Bode

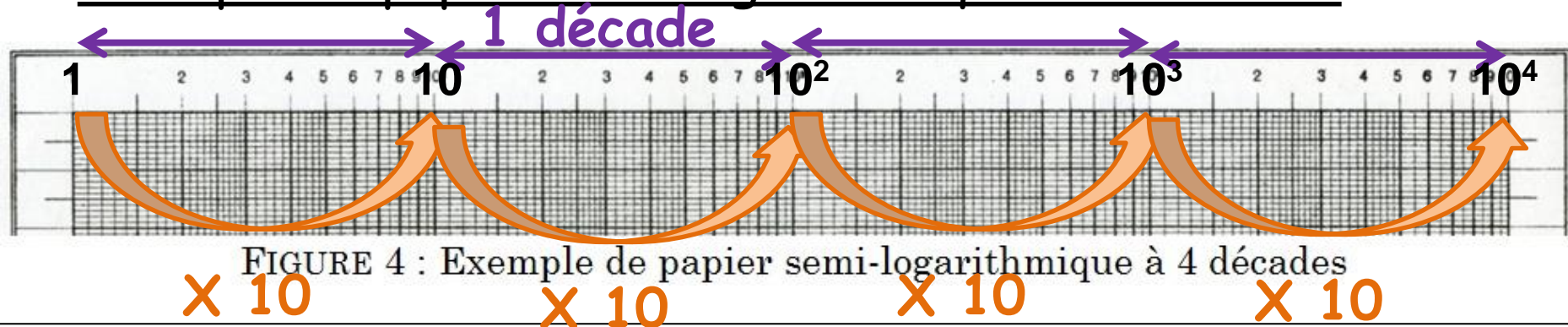
Visualisa° action filtre sur 1 signal d'entrée selon sa pulsa° ω :
graphe variations module / argument de la FT en fct de ω

3.1 Échelle logarithmique

- Changement d'échelle
- Échelle logarithmique

Définition : **Échelle logarithmique**

- Exemple de papier semi-logarithmique à 4 décades



➤ Exemple : courbe de gain avec les deux échelles

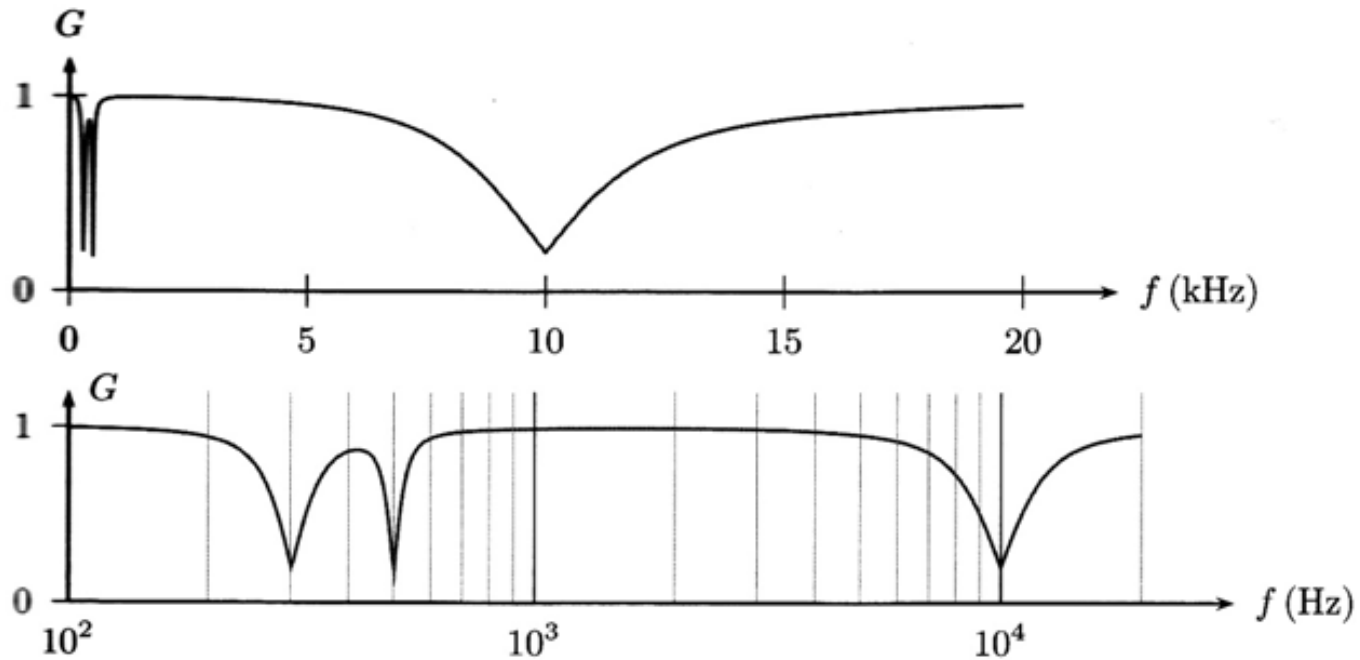


FIGURE 5 : Courbe de gain $G(f)$ tracée en échelle linéaire (en haut)
et en échelle logarithmique (en bas)

Intérêt de l'échelle logarithmique

3.2 Gain en décibel

➤ Définition : Gain en décibel

$$G_{dB}(\omega) = 20 \log(|\underline{H}(j\omega)|) = 20 \log(G(\omega)) \quad (\text{dB})$$

Amplification : $G_{dB} > 0$ ou atténuation $G_{dB} < 0$

3.3 Diagramme de Bode

3.3.1 Définition

➤ Définition : Diagramme de Bode

❖ courbe de gain $G_{dB}(\omega)$

❖ courbe de phase $\varphi(\omega)$

➤ Remarque $\log(x) = \log\left(\frac{\omega}{\omega_0}\right) = \log\left(\frac{f}{f_0}\right)$

3.3.2 Exemple du circuit RC série (ex. d'appl. 1)

➤ FT

➤ Diag. de Bode

➤ Commentaires

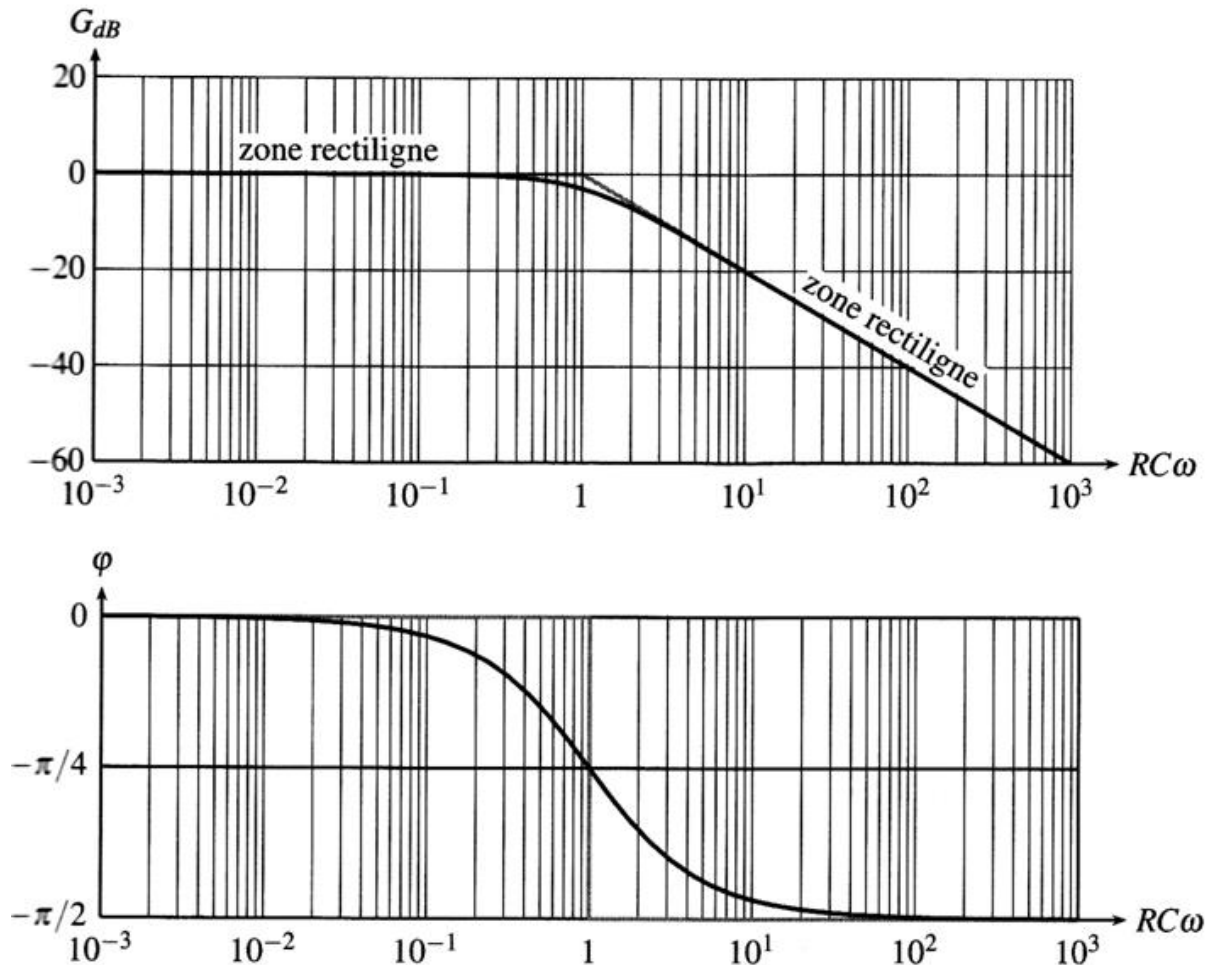


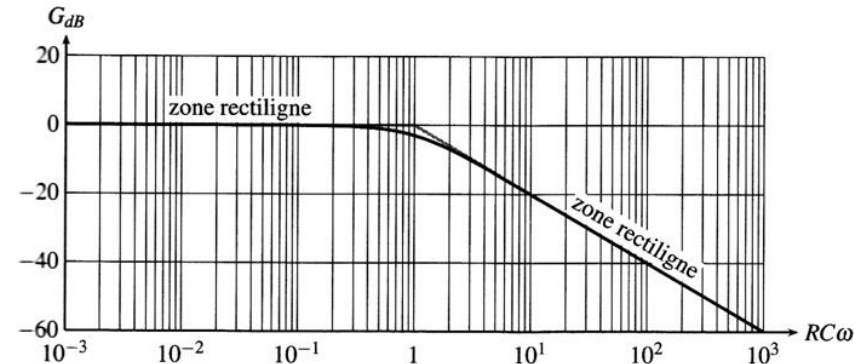
FIGURE 6 : Courbes de gain et de phase du circuit RC

3.3.3 Diagramme de Bode asymptotique

➤ Modélisation

Portions rectilignes

Méthode 



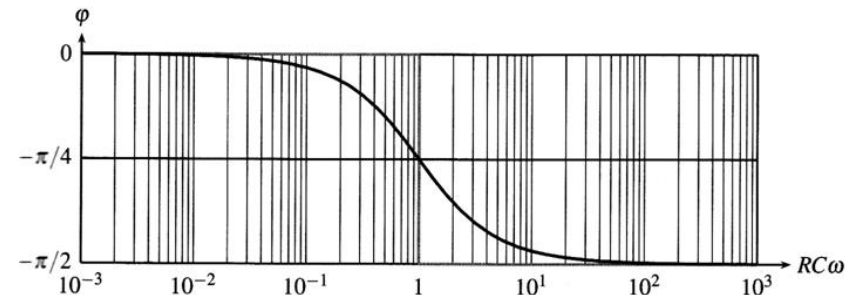
➤ Asymptotes à la courbe de gain

$$G(\omega) = K \omega^n$$

$$G_{dB}(\omega) = 20n \log(\omega) + B$$

➤ Asymptotes à la courbe de phase

$$\varphi(\omega) = cste$$



3.3.4 Diagramme de Bode réel

Méthode

3.3.5 Cas d'un produit de FT

$$\underline{H} = \underline{H}_1 \cdot \underline{H}_2$$

➤ Expression du gain et de la phase

$$G_{dB}(\omega) = G_{dB1}(\omega) + G_{dB2}(\omega)$$

$$\varphi(\omega) = \varphi_1(\omega) + \varphi_2(\omega)$$

➤ Obtention du diagramme de Bode

4 Caractéristiques d'un filtre

4.1 Pulsation de coupure - Bande passante

➤ Définition : Pulsation de coupure ω_C

$$G(\omega_C) = \frac{G_{\max}}{\sqrt{2}} \quad \Leftrightarrow \quad G_{dB}(\omega_C) = G_{dB\max} - 3 \text{ dB}$$

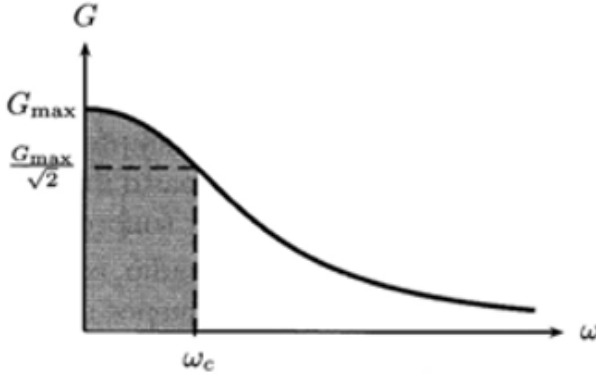
➤ Définition : Bande passante $\Delta\omega$

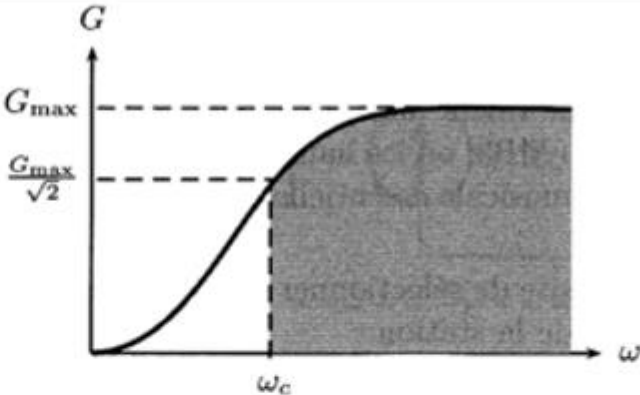
$$\forall \omega \in \Delta\omega, \quad \frac{G_{\max}}{\sqrt{2}} \leq G(\omega) \leq G_{\max} \quad \Leftrightarrow \quad G_{dB\max} - 3 \text{ dB} \leq G_{dB}(\omega) \leq G_{dB\max}$$

➤ Effet d'un filtre

- ❖ laisse passer les signaux tq $\omega \in \Delta\omega$
- ❖ atténue les signaux tq $\omega \notin \Delta\omega$

4.2 Modèles de filtres

Filtre passe-bas		
Courbe de gain		
Comportement aux limites	<p>BF :</p> $\lim_{\omega \rightarrow 0} G(\omega) = G_{\max} \neq 0$ $\lim_{\omega \rightarrow 0} G_{dB}(\omega) = G_{dB\max}$	<p>HF :</p> $\lim_{\omega \rightarrow +\infty} G(\omega) = 0$ $\lim_{\omega \rightarrow +\infty} G_{dB}(\omega) \rightarrow -\infty$
Bande passante	$BP = [0; \omega_c]$	

Filtre passe-haut		
Courbe de gain		
Comportement aux limites	<p>BF :</p> $\lim_{\omega \rightarrow 0} G(\omega) = 0$ $\lim_{\omega \rightarrow 0} G_{dB}(\omega) \rightarrow -\infty$	<p>HF :</p> $\lim_{\omega \rightarrow +\infty} G(\omega) = G_{\max} \neq 0$ $\lim_{\omega \rightarrow +\infty} G_{dB}(\omega) = G_{dB \max}$
Bande passante	$BP = [\omega_C; +\infty]$	

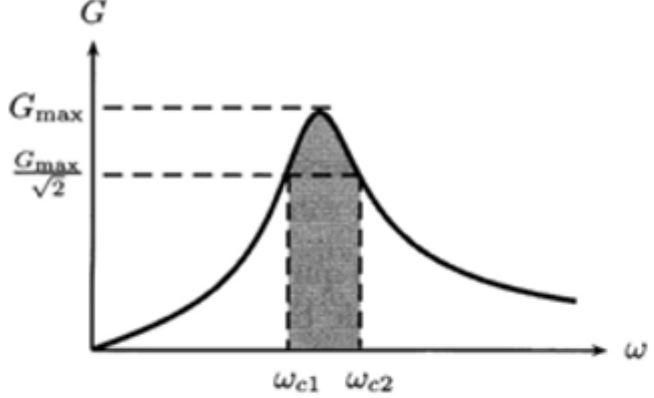
Filtre passe-bande		
Courbe de gain		
Comportement aux limites	<p>BF :</p> $\lim_{\omega \rightarrow 0} G(\omega) = 0$ $\lim_{\omega \rightarrow 0} G_{dB}(\omega) \rightarrow -\infty$	<p>HF :</p> $\lim_{\omega \rightarrow +\infty} G(\omega) = 0$ $\lim_{\omega \rightarrow +\infty} G_{dB}(\omega) \rightarrow -\infty$
Bande passante	$BP = [\omega_{C1}; \omega_{C2}]$	

FIGURE 7 : Caractéristiques des filtres (bande passante en gris)

5 Étude de quelques filtres passifs

5.1 Filtre passe-bas d'ordre 1

5.1.1 Exemple de circuit

5.1.2 Étude qualitative à partir du circuit

- Comportement du circuit aux limites
- Nature du filtre

5.1.3 Fonction de transfert

$$\underline{H}(j\omega) = \frac{\underline{s}(t)}{\underline{e}(t)} = \frac{1}{1 + jRC\omega}$$

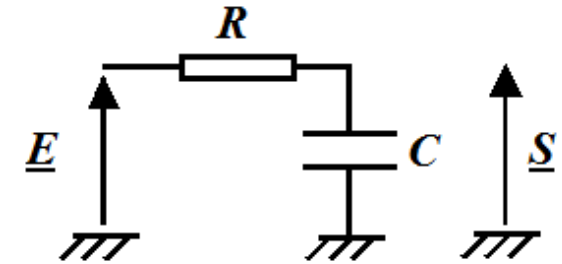


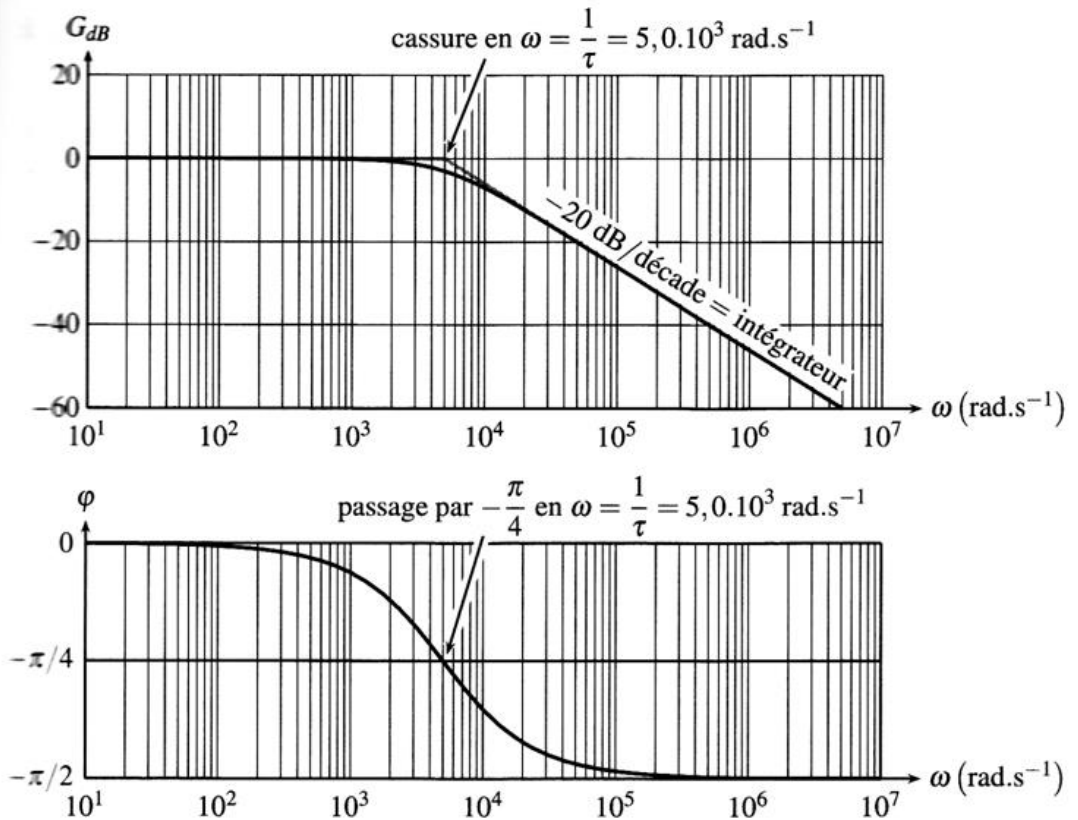
FIGURE 8 : Exemple de
circuit réalisant un filtre
passe-bas du 1^{er} ordre

$$\underline{H}(j\omega) = \frac{1}{1 + j\tau\omega}$$

τ : constante de temps ($=RC$ pour ce circuit)

5.1.4 Diagramme de Bode

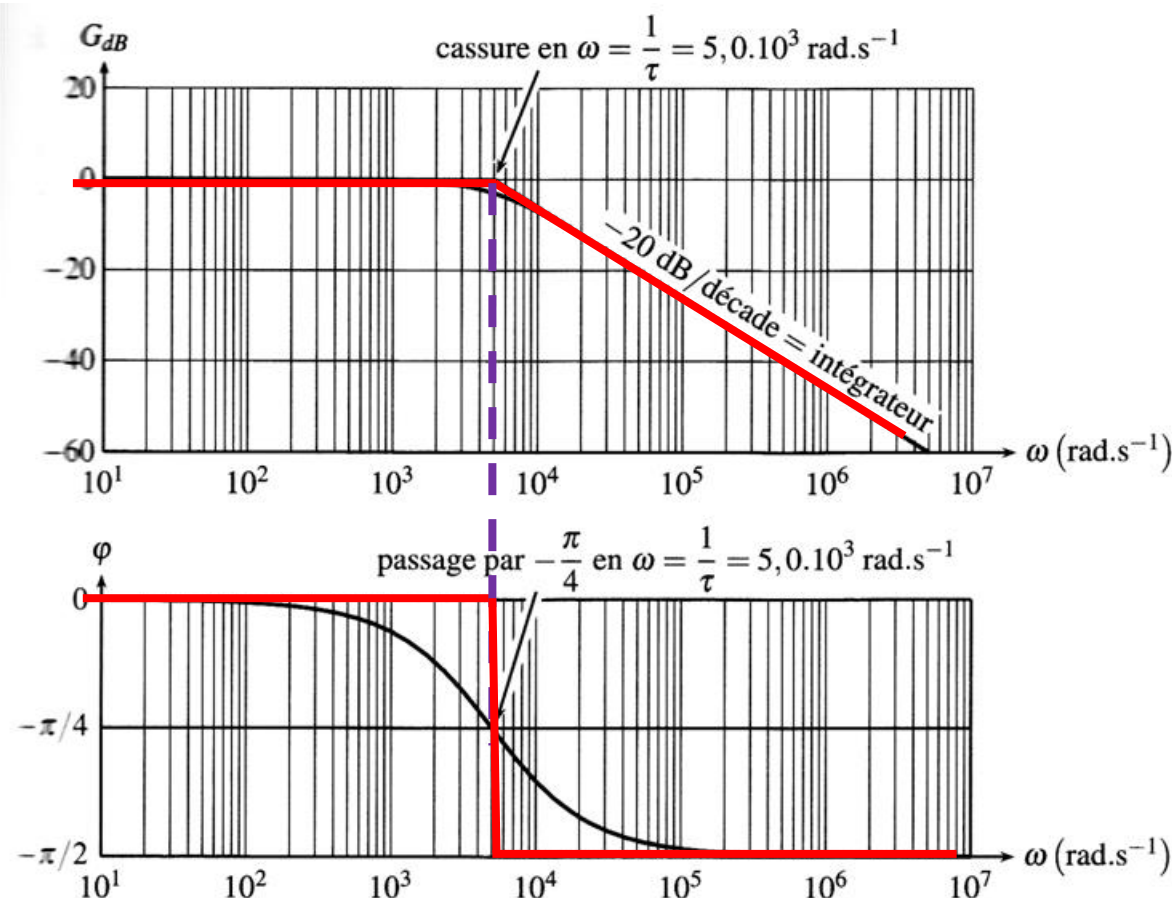
➤ Allure du diagramme de Bode



➤ Commentaires

FIGURE 9 : Diagramme de Bode d'un filtre passe-bas du 1^{er} ordre
(avec $\tau = 2,0.10^{-4}$ s)

- Diagramme de Bode asymptotique
- Diagramme de Bode réel (courbes réelles)



5.1.5 Pulsation de coupure – Bande passante

➤ Pulsation de coupure

Propriété

Pulsation de coupure :

$$\omega_c = \frac{1}{\tau}$$

➤ Bande passante

$$\text{BP} = [0; \omega_c]$$

5.1.6 Forme normalisée de la fonction de transfert

$$\underline{H}(j\omega) = H_0 \frac{1}{1 + j \frac{\omega}{\omega_c}}$$

ω_c : pulsation de coupure

H_0 : gain en continu :

$$H_0 = \lim_{\omega \rightarrow 0} \underline{H}(j\omega)$$



Amplification si

$$|H_0| > 1$$

Atténuation si

$$|H_0| < 1$$

➤ Exercice d'application 2

Tracer le diagramme de Bode asymptotique du filtre dont la fonction de transfert est

$\underline{H}(j\omega) = H_0 \frac{1}{1 + j \frac{\omega}{\omega_c}}$ avec $H_0 = 5$ puis avec $H_0 = -\frac{1}{5}$. Esquisser l'allure des courbes réelles.



5.1.7 Réponse à une excitation sinusoïdale

➤ Tension d'entrée

$$e(t) = E_0 + E_M \cos(\omega_e t + \varphi_e)$$

$$\omega_e \gg \omega_c$$

E_0 : composante continue ou valeur moyenne

➤ Tension de sortie

Propriété

filtre passe-bas = moyennneur

$$\omega_e \gg \omega_c$$

5.1.8 Comportement du filtre dans le domaine temporel

➤ Domaine d'étude

$$\omega \gg \omega_c = \frac{1}{\tau}$$

➤ Passage de la fonction de transfert à l'équation différentielle

Propriété

filtre passe-bas = intégrateur

$$\omega \gg \omega_c$$

diagramme de Bode : 

❖ droite de pente -20 dB/décade

❖ Phase :

$$-\frac{\pi}{2}$$

5.2 Filtre passe-haut d'ordre 1

5.2.1 Exemple de circuit

5.2.2 Étude qualitative à partir du circuit

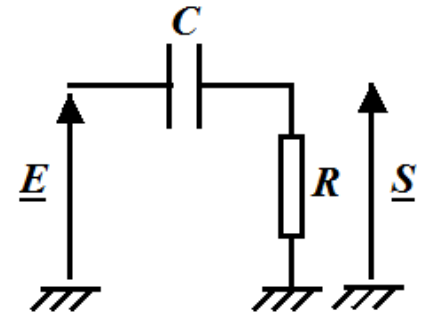


FIGURE 10 : Exemple de circuit réalisant un filtre passe-haut du 1^{er} ordre

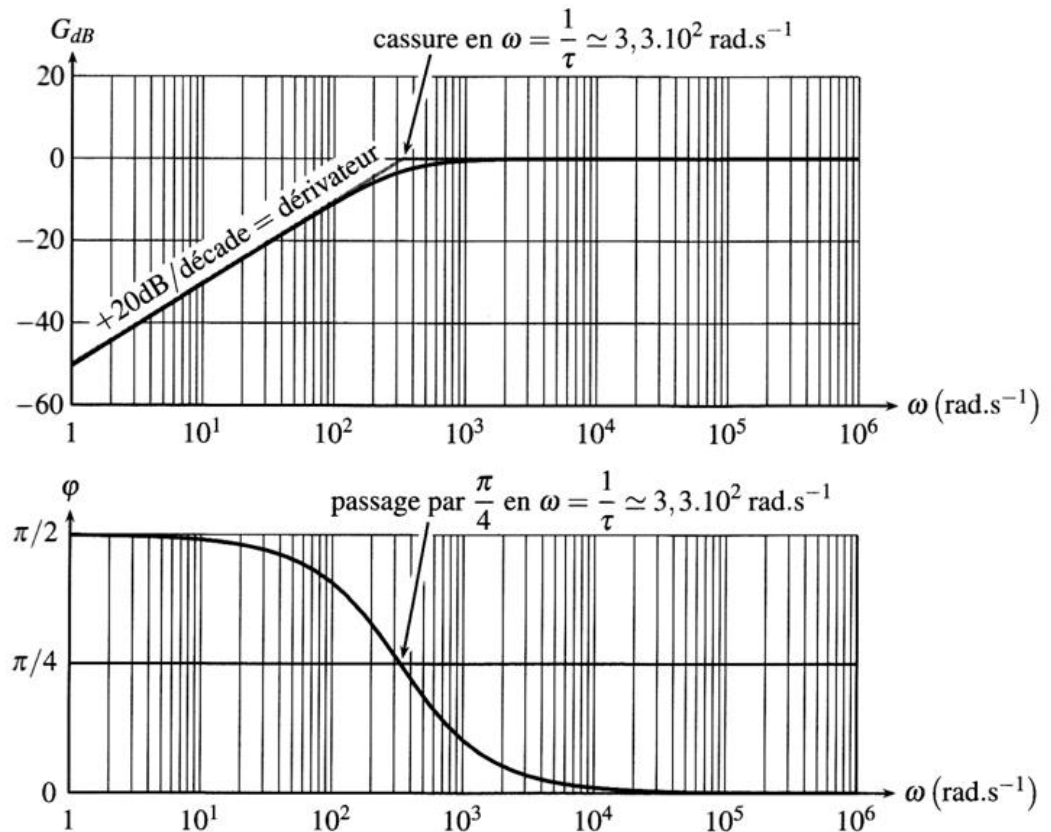
- Comportement du circuit aux limites
- Nature du filtre
- 5.2.3 Fonction de transfert

$$\underline{H}(j\omega) = \frac{jRC\omega}{1 + jRC\omega} = \frac{j\tau\omega}{1 + j\tau\omega}$$

τ : constante de temps

5.2.4 Diagramme de Bode

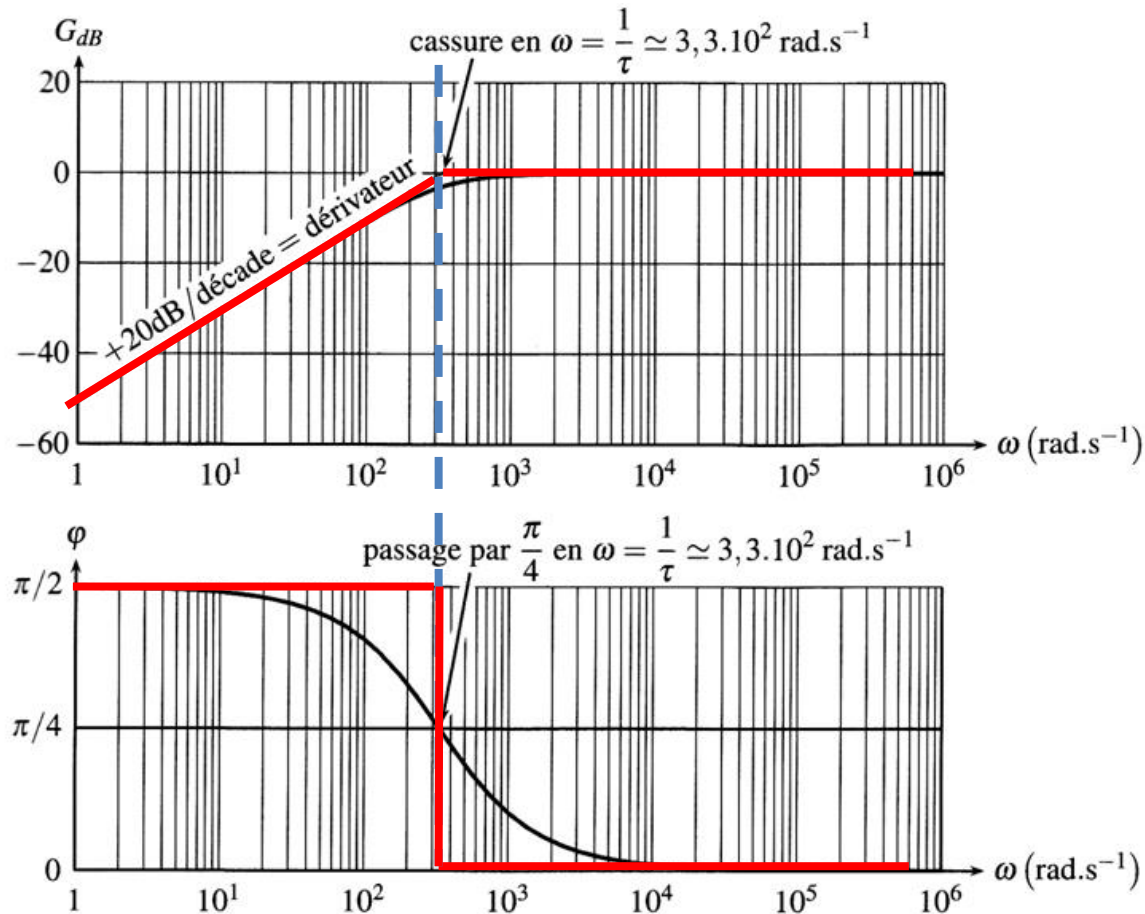
➤ Allure du diagramme de Bode



➤ Commentaires

FIGURE 11 : Diagramme de Bode d'un filtre passe-haut du 1^{er} ordre
(avec $\tau = 3,0 \cdot 10^{-3}$ s)

- Diagramme de Bode asymptotique
- Diagramme de Bode réel (courbes réelles)



5.2.5 Pulsation de coupure – Bande passante

➤ Pulsation de coupure

Propriété

Pulsation de coupure : $\omega_c = \frac{1}{\tau}$

➤ Bande passante

$$\text{BP} = [\omega_c; +\infty]$$

5.2.6 Forme normalisée de la fonction de transfert

$$\underline{H}(j\omega) = H_0 \frac{j \frac{\omega}{\omega_c}}{1 + j \frac{\omega}{\omega_c}}$$

ω_c : pulsation de coupure

H_0 : gain en HF :

$$H_0 = \lim_{\omega \rightarrow +\infty} \underline{H}(j\omega)$$



Amplification si

$$|H_0| > 1$$

Atténuation si

$$|H_0| < 1$$

➤ Exercice d'application 3

Tracer le diagramme de Bode asymptotique du filtre dont la fonction de transfert est

$$\underline{H}(j\omega) = H_0 \frac{j \frac{\omega}{\omega_1}}{1 + j \frac{\omega}{\omega_1}} \text{ avec } H_0 = -2. \text{ Esquisser l'allure des courbes réelles.}$$



5.2.7 Réponse à une excitation sinusoïdale

➤ Tension d'entrée

$$e(t) = E_0 + E_M \cos(\omega_e t + \varphi_e)$$

$$\omega_e \gg \omega_C$$

E_0 : composante continue ou valeur moyenne

➤ Tension de sortie

Propriété

filtre passe-haut = suppression de
la composante continue

5.2.8 Comportement du filtre dans le domaine temporel

➤ Domaine d'étude

$$\omega \ll \omega_c = \frac{1}{\tau}$$

➤ Passage de la fonction de transfert à l'équation différentielle

Propriété

filtre passe-haut = dérivateur

$$\omega \ll \omega_c$$

diagramme de Bode : 

❖ droite de pente **+20 dB/décade**

❖ Phase : $+\frac{\pi}{2}$

5.3 Filtre passe-bande (d'ordre 2)

5.3.1 Exemple de circuit

5.3.2 Étude qualitative à partir du circuit

- Comporte^t du circuit aux limites
- Nature du filtre
- 5.3.3 Fonction de transfert

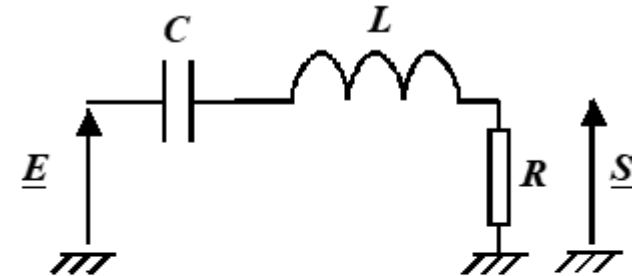
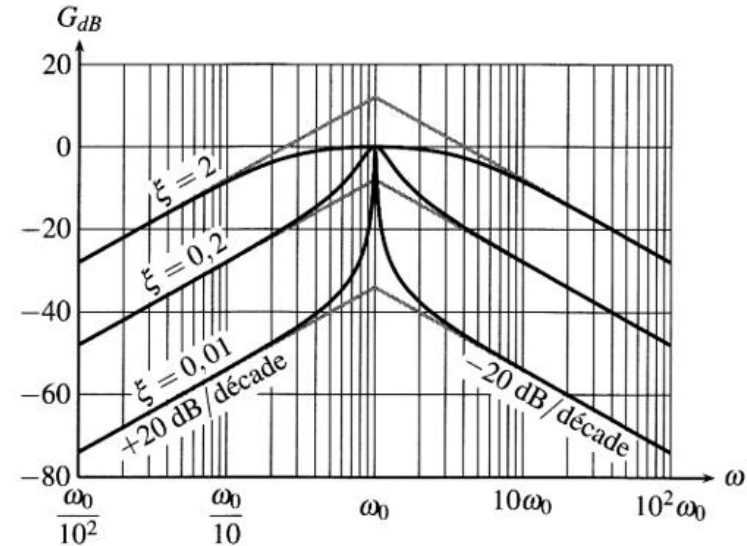


FIGURE 12 : Exemple de circuit réalisant un filtre passe-bande du 2^{ème} ordre

$$\underline{H}(j\omega) = \frac{j2\xi \frac{\omega}{\omega_0}}{1 + j2\xi \frac{\omega}{\omega_0} + \left(j \frac{\omega}{\omega_0}\right)^2}$$

5.3.4 Diagramme de Bode

➤ Allure du diagramme de Bode



➤ Commentaires

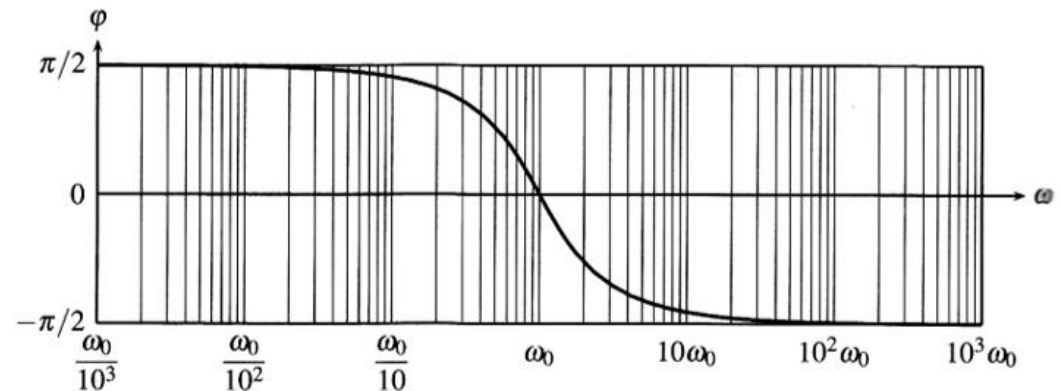
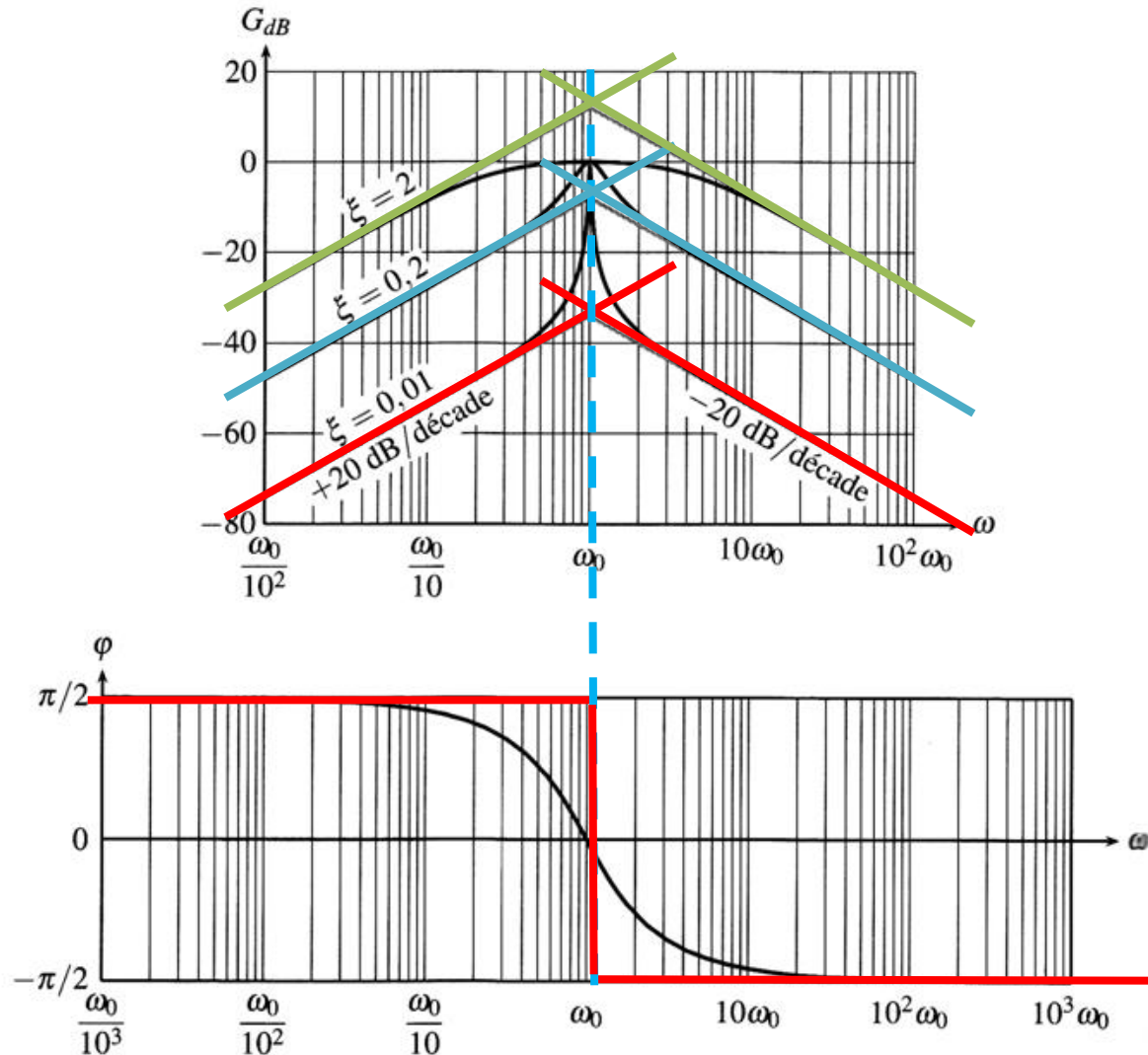


FIGURE 13 : Diagramme de Bode d'un filtre passe-bande du 2^{ème} ordre

- Diagramme de Bode asymptotique
- Gain asymptotique en $\omega = \omega_0$





5.3.5 Formes normalisées de la fonction de transfert

$$\underline{H}(j\omega) = H_0 \frac{j2\xi \frac{\omega}{\omega_0}}{1 + j2\xi \frac{\omega}{\omega_0} + \left(j \frac{\omega}{\omega_0}\right)^2} = H_0 \frac{1}{1 + jQ \left(\frac{\omega}{\omega_0} - \frac{\omega_0}{\omega}\right)}$$

ω_0 : pulsation propre

ξ : facteur d'amortissement

$Q = 1/(2\xi)$: facteur de qualité

H_0 : gain à la pulsation propre ω_0 : $H_0 = \underline{H}(j\omega_0)$



5.3.6 Résonance et bande passante

➤ Gain et phase en $\omega = \omega_0$

Propriété :

Propriété :

Passe-bande : $\omega_0 = \omega_r$

➤ Tracés asymptotiques / tracés réels 

➤ Résonance en intensité

➤ Exercice d'application 4

Montrer que la bande passante $\Delta\omega$ du filtre passe-bande s'écrit : $\Delta\omega = \frac{\omega_0}{Q}$.

6 Filtrage d'un signal périodique

6.1 Réponse d'un système linéaire à une entrée périodique

➤ Linéarité d'un système

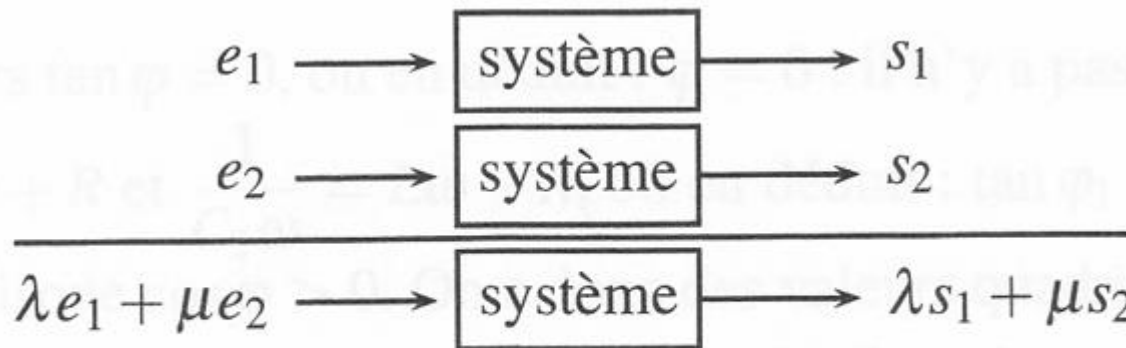


FIGURE 14 : Linéarité d'un système
principe de superposition

➤ Système linéaire (filtre) considéré

$$\underline{H}(j\omega) = \frac{\underline{S}}{\underline{E}}$$

$$G(\omega) = |\underline{H}(j\omega)|$$

$$\arg(\underline{H}(j\omega)) = \varphi(\omega)$$

➤ Tension d'entrée périodique

Période : $T_e = \frac{2\pi}{\omega_e}$

$$e(t) = E_0 + \sum_{n=1}^{\infty} E_n \cos(n\omega_e t + \varphi_{en})$$

➤ Tension de sortie

**Ppe de superposition : la tension de sortie est
périodique de même période T_e**



$$s(t) = G(0)E_0 \cos(\varphi(0)) + \sum_{n=1}^{\infty} G(n\omega_e)E_n \cos(n\omega_e t + \varphi_{en} + \varphi(n\omega_e))$$

6.2 Exemple : filtrage d'une tension carrée

6.2.1 Retour à la problématique

- Observation de la réponse d'un filtre à une tension d'entrée **carrée**, périodique de période T , de fréquence $f_e = 1/T$

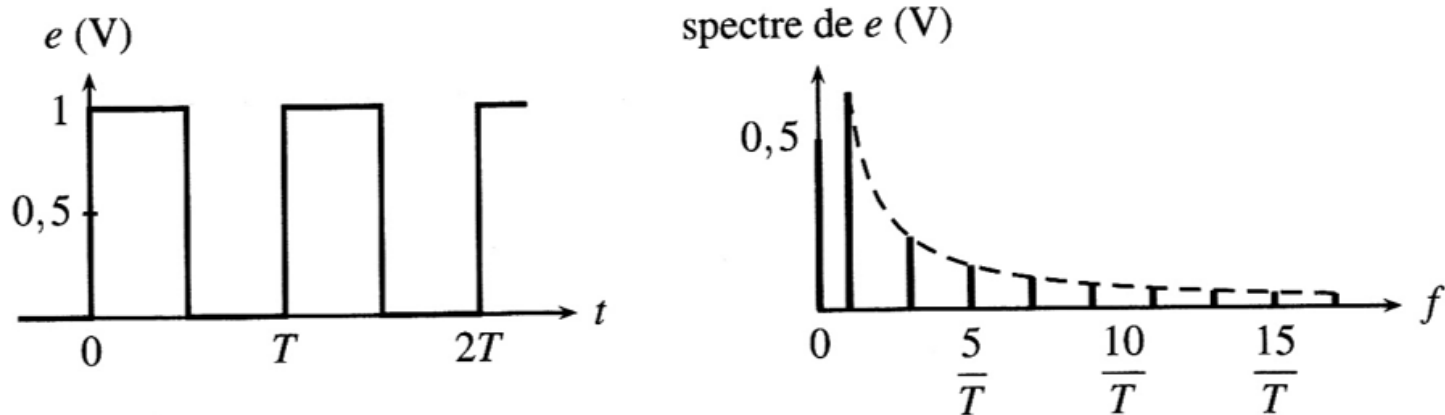


FIGURE 15 : Forme d'onde et spectre du signal d'entrée $e(t)$

- Filtre **passe-bande** avec f_0 réglable

6.2.2 Observations expérimentales et interprétation

➤ Observations expérimentales

➤ Interprétation

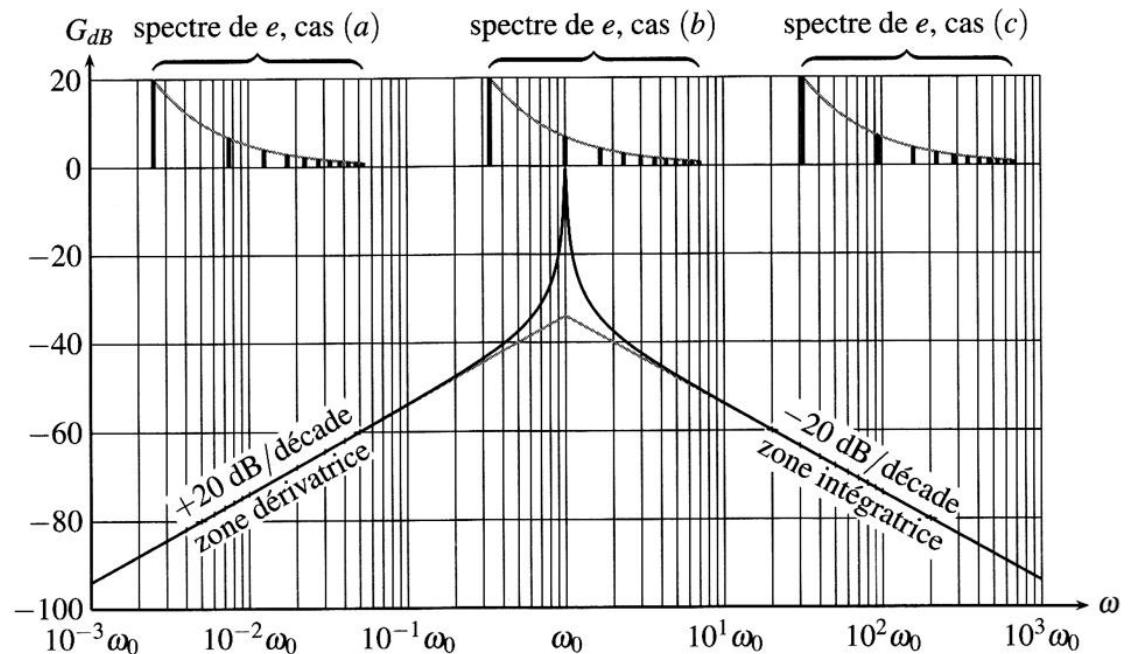


FIGURE 16 : Courbe de gain d'un filtre passe-bande et spectre du signal d'entrée

